

# Минимально-фазовые БИХ-фильтры с минимальной неравномерностью ХГВЗ

Александр МИНГАЗИН  
alexmin@radis.ru

В статье представлены два подхода к синтезу минимально-фазовых цифровых БИХ-фильтров с минимальной неравномерностью ХГВЗ в полосе пропускания и требуемой АЧХ. В первом из них оптимизируются исходные параметры АЧХ классических фильтров Золотарева — Кауэра, Чебышева и Баттерворта, а во втором — коэффициенты каскадной передаточной функции фильтра с нулями передачи на единичной окружности. Численные результаты показывают, что первый подход приводит к хорошим результатам, но неклассические минимально-фазовые БИХ-фильтры, полученные с помощью второго подхода, могут иметь значительно меньшие неравномерности ХГВЗ. Степень уменьшения зависит от требований к АЧХ.

## Введение

Известно, что нули передаточной функции минимально-фазовых цифровых БИХ-фильтров находятся внутри единичной окружности комплексной  $z$ -плоскости. Классические БИХ-фильтры, полученные на основе билинейного преобразования аналоговых фильтров-прототипов Золотарева — Кауэра, Чебышева, Баттерворта и других, имеют нули на единичной окружности и согласно [1] не являются строго минимально-фазовыми, но обладают рядом их свойств. Поэтому далее будем называть эти фильтры, как и в некоторых публикациях, минимально-фазовыми.

Известно также, что БИХ-фильтры часто оказываются непригодными из-за свойственной им большой неравномерности ХГВЗ в полосе пропускания. Из ряда существующих методов уменьшения этой неравномерности выделим следующие:

- Коррекция неравномерности ХГВЗ фильтра с приемлемой АЧХ оптимизированной фазовой (всепропускающей) цепью.
- Минимизация неравномерности ХГВЗ полюсного БИХ-фильтра с последующей коррекцией его АЧХ оптимизированным КИХ-фильтром с линейной ФЧХ.
- Минимизация неравномерности ХГВЗ БИХ-фильтра при заданных допусках на отклонение АЧХ без ограничения на расположение нулей передачи.
- Минимизация неравномерности ХГВЗ классических БИХ-фильтров путем оптимального выбора исходных параметров АЧХ.

- Минимизация неравномерности ХГВЗ БИХ-фильтра с нулями передачи на единичной окружности при заданных допусках на отклонение АЧХ.

Широко распространенный первый метод может приводить к завышенному результатирующему порядку фильтра. Второй [2] — позволяет получить экстремально малые неравномерности ХГВЗ в сравнении с первым методом (особенно для узкополосных фильтров). Третий [3] дает экстремально малые неравномерности ХГВЗ в сравнении с первым и некоторыми другими конкурирующими методами. Четвертый [4] не всегда приводит к желаемым результатам. Пятый [5] позволяет улучшить решения, получаемые четвертым методом.

Все эти методы минимизации неравномерности ХГВЗ отличаются степенью сложности и за исключением четвертого и пятого метода приводят к неминимально-фазовым БИХ-фильтрам, которым в отличие от минимально-фазовых БИХ-фильтров свойственна переходная характеристика с длительным временем нарастания, что нежелательно в ряде приложений, например в измерительной технике и некоторых системах телекоммуникации и связи [6].

В данной статье внимание сосредоточим на проблемах минимизации неравномерности ХГВЗ в полосе пропускания минимально-фазовых БИХ-фильтров нижних частот. Рассмотрим оба вышеупомянутых метода, вначале — основанный на оптимальном выборе исходных параметров АЧХ четырех классических БИХ-фильтров (Баттерворта, Чебышева I, II и Золотарева — Кауэра),

а затем метод, основанный на оптимизации коэффициентов каскадных БИХ-фильтров с нулями передачи на единичной окружности. Минимально-фазовые БИХ-фильтры, полученные вторым методом, будем называть здесь неклассическими.

## Классические БИХ-фильтры с минимальной неравномерностью ХГВЗ

Вначале определим области допустимых исходных параметров четырех классических БИХ-фильтров Баттерворта, Чебышева I, II и Золотарева — Кауэра. Затем рассмотрим решение задачи поиска в каждой из областей оптимальной точки, соответствующей фильтру с минимальной неравномерностью ХГВЗ в полосе пропускания, и представим численные результаты.

### Области допустимых исходных параметров

Области допустимых исходных параметров  $S(\mathbf{p})$  для обсуждаемых БИХ-фильтров нижних частот показаны на рис. 1. Это лишь качественные фигуры, хотя по конкретным требованиям к АЧХ можно построить точные конфигурации областей. Компонентами вектора  $\mathbf{p}$ , размерность которого не превышает трех, могут быть следующие исходные параметры:  $\Delta a$  — неравномерность АЧХ в полосе пропускания,  $a_0$  — минимальное ослабление в полосе задерживания, а также  $f_1, f_2$  — граничные частоты полосы пропускания и задерживания. Расчет фильтра для любой точки той или иной области приво-

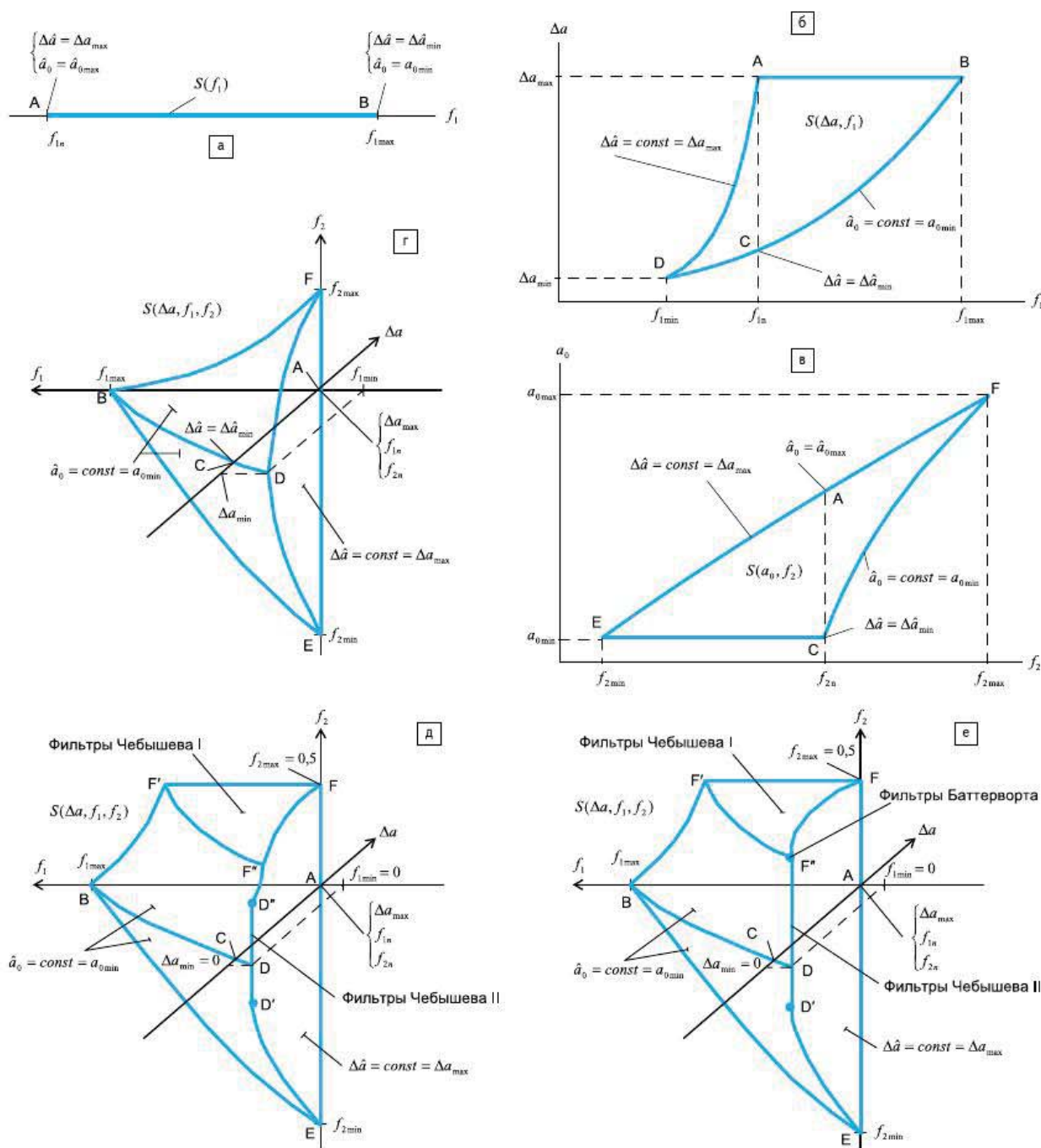


Рис. 1. Области допустимых исходных параметров фильтров: а) Баттерворта; б) Чебышева I; в) Чебышева II; г–е) Золотарева — Кауэра

дит к допустимой АЧХ, параметры которой удовлетворяют следующим условиям:

$$\Delta \hat{a} \leq \Delta a_{\max}, \hat{a}_0 \geq a_{0 \min} \quad (1)$$

где  $\Delta \hat{a}$  — неравномерность АЧХ в номинальной полосе пропускания ( $0 \leq f \leq f_{1n}$ ),  $\hat{a}_0$  — минимальное ослабление АЧХ в номинальной полосе задерживания ( $f_{2n} \leq f \leq 0,5$ ), а  $\Delta a_{\max}$  и  $a_{0 \min}$  — заданные допуски по неравномерности и ослаблению, частоты  $f_{1n}$ ,  $f_{2n}$  и  $f_n$  нормированы относительно частоты дискретизации.

В обозначениях задаваемых допусков в (1) знак соответствия номинальной полосе не используется, поскольку всегда:

$$\Delta \hat{a}_{\max} = \Delta a_{\max} \text{ и } \hat{a}_{0 \min} = a_{0 \min}.$$

Предполагается, что параметры в (1) выражены в децибелах и максимум АЧХ в полосе пропускания нормирован к 0 дБ. По значениям  $f_{1n}$ ,  $f_{2n}$ ,  $\Delta a_{\max}$  и  $a_{0 \min}$  оценивается порядок фильтра  $N$ . Строгим равенствам в (1) соответствует целое  $N$ , точечная

область  $S(p)$  и лишь один вариант расчета фильтра.

На рис. 1 наряду с допусками  $\Delta a_{\max}$ ,  $a_{0 \min}$  и номинальными частотами  $f_{1n}$  и  $f_{2n}$  фигурируют экстремальные значения  $\Delta \hat{a}_{\min}$ ,  $\hat{a}_{0 \max}$ ,  $\Delta a_{\min}$ ,  $a_{0 \max}$  и  $f_{1 \min}$ ,  $f_{1 \max}$ ,  $i = 1, 2$ . Характерные точки на рис. 1 помечены буквами А, В, С, ... На рис. 1б, в отмечены также кривые, а на рис. 1г–е — поверхности постоянства  $\Delta \hat{a}$  и  $\hat{a}_0$ .

Неявные выражения для описания областей  $S(p)$  даны в таблице 1. Здесь  $a(\cdot)$  — харак-

теристики ослабления, а  $\Phi(\cdot)$  — функции для определения порядков обсуждаемых фильтров. Для упрощения записи зависимость неявных функций  $a(\cdot)$  и  $\Phi(\cdot)$  от  $N$  опущена.

Для фильтров Баттерворта область  $S(\mathbf{p}) = S(\mathbf{p}_1) = S(f_1)$  или  $S(\mathbf{p}_1) = S(\Delta a)$  полностью определяется диапазоном изменения параметра  $f_1$  или  $\Delta a$ . На рис. 1а показана область  $S(f_1)$  в виде отрезка прямой АВ. Для фильтров Чебышева I двумерная область  $S(\Delta a, f_1)$  с характерными точками А, В, С, D представлена на рис. 1б, а для фильтров Чебышева II двумерная область  $S(a_0, f_2)$  с характерными точками А, С, Е, F — на рис. 1в.

Для фильтров Золотарева — Кауэра трехмерная область  $S(\Delta a, f_1, f_2)$  может иметь три вида конфигураций, показанных на рис. 1г–е. Область на рис. 1г образована пересечениями плоскости  $\Delta a = \Delta a_{\max}$  и трех поверхностей с характерными точками В, D, Е для первой, D, Е, F для второй и В, D, F для третьей поверхности. Начало координат соответствует точке А. Точки А, В, С, D лежат в плоскости  $f_2 = f_{2r}$ .

Области на рис. 1д–е обусловлены предельными переходами согласно схеме на рис. 2. Так, от фильтров Золотарева — Кауэра возможен переход к фильтрам Чебышева на рис. 1д и к фильтрам Чебышева и Баттерворта на рис. 1е. Образовавшиеся фигуры с характерными точками F, F', F'' располагаются в плоскости  $f_2 = 0,5$ , а появившиеся отрезки прямых D'D'' на рис. 1д и D'F'' на рис. 1е соответствуют  $\Delta a = 0$  и  $f_1 = 0$ .

Если вернуться к областям фильтров Чебышева I и II на рис. 1б,в, то здесь, пользуясь схемой на рис. 2, можно указать точки предельного перехода к фильтрам Баттерворта. На рис. 1б это точка D с координатами  $\Delta a = \Delta a_{\min} = 0$  и  $f_1 = f_{1\min} = 0$ , а на рис. 1в — точка F с координатами  $a_0 = a_{0\max} = \infty$  и  $f_2 = f_{2\max} = 0,5$  (в [4] вместо точки F ошибочно говорится об отрезке прямой).

Заметим, что предельный переход от одного фильтра к другому имеет место, если для каждого из этих фильтров одинакового порядка выполняются условия (1).

Области  $S(\mathbf{p})$  на рис. 1а–г были ранее представлены в [7], на рис. 1а–г,е — в [4] и на рис. 1г–е — в [8]. В работах [7, 8] даны математические описания областей в явной и неявной форме. Более детальное пояснение предельных переходов дано в [4, 8].

**Оптимальные точки областей**

Допустим, область  $S(\mathbf{p})$  фильтра Золотарева — Кауэра представляет собой точку, что соответствует строгим равенствам в (1). В этой ситуации фильтры Золотарева — Кауэра обладают не только глобально оптимальной АЧХ, что им свойственно независимо от размера  $S(\mathbf{p})$ , но и глобально оптимальной ХГВЗ, которая в конкретных случаях может оказаться совершенно неприемлемой. Подобные рассуждения можно отнести и к трем другим обсуж-

Таблица 1. Описание областей допустимых исходных параметров

| Области $S(\mathbf{p})$ фильтров нижних частот                          |   |  |  |
|---|---|--|--|
| Баттерворта   | Чебышева I  | Чебышева II  | Золотарева — Кауэра  |
| $S(f_1)$  | $S(\Delta a, f_1)$  | $S(a_0, f_2)$  | $S(\Delta a, f_1, f_2)$  |
| $f_1 \geq f_{1r}, N \geq \Phi(\Delta a_{\max}, a_{0\max}, f_1, f_{2r})$ | $\Delta a \leq \Delta a_{\max}, N \geq \Phi(\Delta a, a_{0\min}, f_1, f_{2r}), a(f = f_{1r}, \Delta a, f_1) \leq \Delta a_{\max}$ | $a_0 \geq a_{0\min}, N \geq \Phi(\Delta a_{\max}, a_0, f_{1r}, f_2), a(f = f_{2r}, a_0, f_2) \geq a_{0\min}$ | $\Delta a \leq \Delta a_{\max}, N \geq \Phi(\Delta a, a_{0\min}, f_1, f_2), a(f = f_{1r}, \Delta a, f_1, f_2) \leq \Delta a_{\max}, a(f = f_{2r}, \Delta a, f_1, f_2) \geq a_{0\min}, f_2 < 0,5$ |

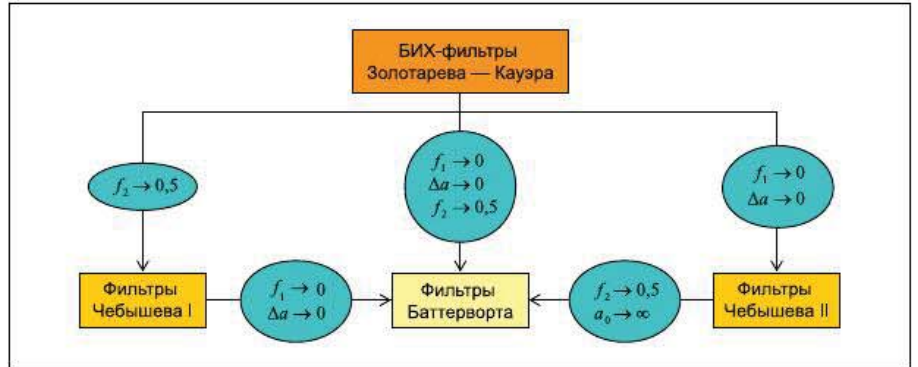


Рис. 2. Схема предельных переходов

даемым здесь классическим фильтрам, АЧХ которых являются в определенном смысле глобально оптимальными. Получить лучшее соотношение между параметрами АЧХ и ХГВЗ можно лишь в случае неточной области  $S(\mathbf{p})$ , подобрав вектор исходных параметров  $\mathbf{p}$  или рассчитав минимально-фазовый БИХ-фильтр другими методами.

Задачу синтеза классических БИХ-фильтров с минимальной неравномерностью ХГВЗ можно сформулировать как:

$$\begin{aligned} \Delta\tau(\mathbf{p}) &= \tau_{\max}(\mathbf{p}) - \tau_{\min}(\mathbf{p}) \rightarrow \min, \\ \Delta\hat{a}(\mathbf{p}) &\leq \Delta a_{\max}, \hat{a}_0(\mathbf{p}) \geq a_{0\min}, \\ \mathbf{p} &\in S(\mathbf{p}), \end{aligned} \quad (2)$$

где  $\Delta\tau$  — неравномерность ХГВЗ в номинальной полосе пропускания, а  $\tau_{\max}$  и  $\tau_{\min}$  — максимальное и минимальное значения ХГВЗ в этой полосе. Положим для дальнейшего, что эти параметры ХГВЗ выражены в отсчетах частоты дискретизации.

Решить поставленную задачу аналитически затруднительно из-за сложности функций, входящих в (2). Решения были получены косвенным путем в [4]. На основе результатов прямого исследования областей  $S(\mathbf{p})$  на рис. 1 и известных фактов о взаимосвязи параметров АЧХ и о влиянии их на неравномерность ХГВЗ сделаны следующие выводы.

Для фильтров Баттерворта минимуму  $\Delta\tau$  соответствует точка В в  $S(f_1)$  на рис. 1а, а для фильтров Чебышева II — точка С в  $S(a_0, f_2)$  на рис. 1в. Для фильтров Чебышева I и Золотарева — Кауэра минимум  $\Delta\tau$  расположен в некоторой точке на кривой BD, соответственно в областях  $S(\Delta a, f_1)$  на рис. 1б и  $S(\Delta a, f_1, f_2)$  на рис. 1г–е. Процедура нахождения такой оптимальной точки сводится к поиску минимума функции одной переменной, что легко выпол-

нить на дискретном наборе частот  $f_1$ . Фильтры Золотарева — Кауэра имеют наименьшую неравномерность  $\Delta\tau$ , фильтры Баттерворта — наибольшую. Фильтры Чебышева занимают промежуточное положение, причем предпочтительнее фильтры Чебышева II, но при очень широкой полосе пропускания, мало востребованной на практике, фильтры Чебышева I могут иметь несколько меньшие  $\Delta\tau$ , чем фильтры Чебышева II.

**Численные результаты**

Проиллюстрируем описанные способы выбора оптимальных точек в областях  $S(\mathbf{p})$  на рис. 1 для следующих требований к АЧХ:

$$\begin{aligned} \Delta a_{\max} &= 3 \text{ дБ}, a_{0\min} = 45 \text{ дБ}, \\ f_{1n} &= 0,1, f_{2n} = 0,2. \end{aligned} \quad (3)$$

На рис. 3 для обсуждаемых фильтров представлены семейства зависимостей неравномерности ХГВЗ  $\Delta\tau$  от исходных параметров областей  $S(\mathbf{p})$ . Точки А, В, С, ... на рис. 3б–г соответствуют аналогичным точкам в областях  $S(\mathbf{p})$  на рис. 1б–г.

Для фильтров Баттерворта семейство зависимостей  $\Delta\tau$  от исходной частоты  $f_1$  показано на рис. 3а. Семейство построено для частот  $f_1$  области  $S(f_1)$  на рис. 1а при трех значениях  $N$ , включая минимальное  $N = 7$ . Как видим, минимум  $\Delta\tau$  для каждого  $N$  соответствует максимальной частоте  $f_1$  или точке В в области  $S(f_1)$  на рис. 1а. При  $N = 7$  минимум  $\Delta\tau = 6$ .

Для фильтров Чебышева I семейство зависимостей  $\Delta\tau$  от  $f_1$  на рис. 3б построено для ряда кривых  $\hat{a}_0 = \text{const}$  в области  $S(\Delta a, f_1)$  на рис. 1б при минимальном  $N = 5$ . Минимум  $\Delta\tau = 3,9$  находится на кривой BD.

Для фильтров Чебышева II семейство зависимостей  $\Delta\tau$  от  $f_2$  на рис. 3в построено для

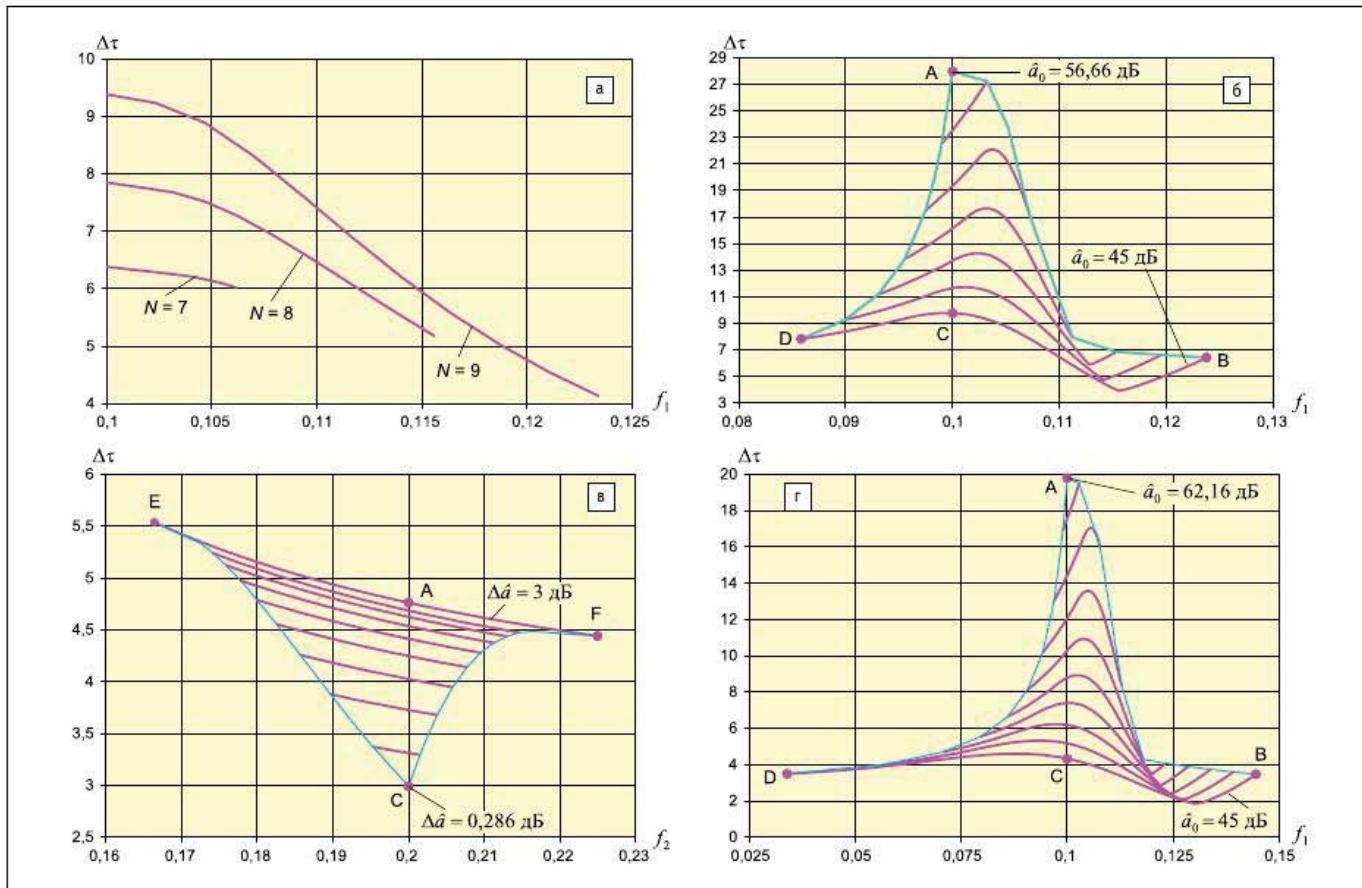


Рис. 3. Зависимости неравномерности ХГВЗ от исходной граничной частоты  $f_1$  или  $f_2$  для фильтров: а) Баттерворта при  $N = 7, 8$  и  $9$ ; б) Чебышева I при  $N = 5, \hat{a}_0 = 45; 47; \dots; 55$  и  $56, 66$  дБ; в) Чебышева II при  $N = 5, \Delta \hat{a} = 0,286; 0,4; 0,6; \dots; 1,8$  и  $3$  дБ; г) Золотарева — Кауэра при  $N = 4, f_2 = 0,2, \hat{a}_0 = 45; 47; \dots; 61$  и  $62, 16$  дБ

Таблица 2. Минимальные значения  $\Delta\tau$  для классических фильтров и соответствующие исходные параметры

| Фильтр                                       | N | $\Delta\tau$ | Исходные параметры   |         |
|--|---|--------------|----------------------|---------|
|  |   |              | $\Delta\hat{a}$ , дБ | $f_1$   |
| Баттерворта                                  | 7 | 6            |                      | 0,10617 |
|  | 8 | 5,2          |                      | 0,11562 |
|  | 9 | 4,1          |                      | 0,12343 |
| Чебышева I                                   | 5 | 3,9          | 1,492                | 0,11565 |
|  | 6 | 3,6          | 0,249                | 0,1201  |
|  | 7 | 2,3          | 0,842                | 0,1448  |
|  | 8 | 2,5          | 0,12                 | 0,144   |
|  | 9 | 2,5          | 0,039                | 0,146   |
| Золотарева — Кауэра ( $f_2 = f_{2n} = 0,2$ ) | 4 | 1,8          | 1,147                | 0,13075 |
|  | 5 | 1,5          | 2,384                | 0,17025 |
|  | 6 | 1,2          | 0,243                | 0,1712  |
|  | 7 | 0,9          | 1,72                 | 0,1918  |
|  | 8 | 1,1          | 0,077                | 0,188   |
|  | 9 | 0,8          | 1,596                | 0,19793 |
| Фильтр                                       | N | $\Delta\tau$ | Исходные параметры   |         |
|  |   |              | $\hat{a}_0$ , дБ     | $f_2$   |
| Чебышева II                                  | 5 | 3            |                      |         |
|  | 6 | 1,9          |                      |         |
|  | 7 | 1,5          | 45                   | 0,2     |
|  | 8 | 1,3          |                      |         |
|  | 9 | 1,3          |                      |         |

ряда кривых  $\Delta\hat{a} = \text{const}$  в области  $S(a_0, f_2)$  на рис. 1в при  $N = 5$ . Минимум  $\Delta\tau = 3$  находится в точке С.

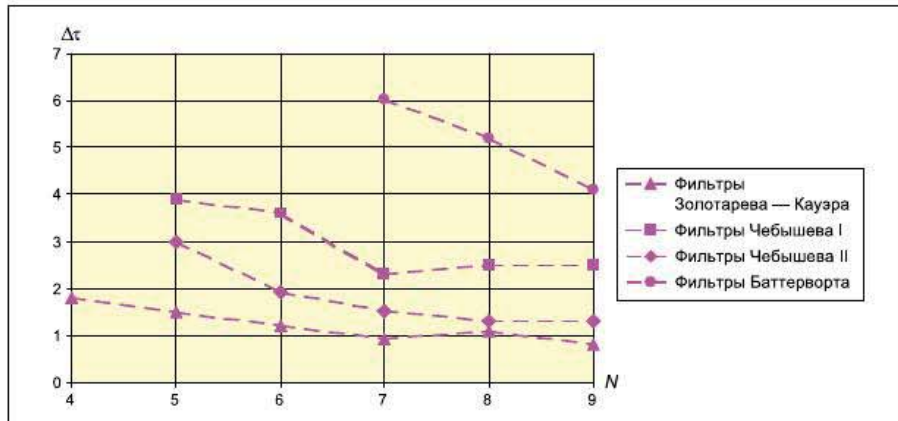


Рис. 4. Зависимости минимальной неравномерности ХГВЗ классических фильтров от порядка N

Для фильтров Золотарева — Кауэра семейство зависимостей  $\Delta\tau$  от  $f_1$  на рис. 3г построено для ряда кривых  $\hat{a}_0 = \text{const}$  в области  $S(\Delta\hat{a}, f_1, f_2)$  на рис. 1г при  $f_2 = f_{2n}$  и минимальном  $N = 4$ . Минимум  $\Delta\tau = 1,8$  находится на кривой BD.

Согласно рис. 3 разброс по  $\Delta\tau$  для фильтров Золотарева — Кауэра и Чебышева I достигает примерно 10 раз, для фильтров Чебышева II — примерно двух раз, а для фильтров Баттерворта при  $N = 7$  он

очень мал. На самом деле для фильтров Золотарева — Кауэра разброс (но лишь в сторону увеличения  $\Delta\tau$ ) больше указанного, поскольку семейство кривых на рис. 3г, построенное при  $f_2 = f_{2n}$ , не охватывает всю область  $S(\Delta\hat{a}, f_1, f_2)$  на рис. 1г.

Для всех фильтров в таблице 2 приведены минимальные значения  $\Delta\tau$ , найденные при разных N. Кроме того, здесь даны исходные параметры, по которым получены эти результаты. На рис. 4 показаны зависимости

$\Delta t$  от  $N$ , построенные по данным таблицы 2. Как видим, дополнительное уменьшение  $\Delta t$  (более чем в 2 раза) может быть получено для фильтров большего порядка. Однако увеличение  $N$  более чем в 2 раза малоэффективно. Фильтры Золотарева — Кауэра имеют наименьшие, а фильтры Баттерворта — наибольшие значения  $\Delta t$ . Фильтры Чебышева занимают промежуточные положения.

### Неклассические минимально-фазовые БИХ-фильтры с минимальной неравномерностью ХГВЗ

Надлежащий выбор исходных параметров АЧХ и порядка позволяет получить классические фильтры с минимальной неравномерностью ХГВЗ в номинальной полосе пропускания. Однако такой подход может не дать ожидаемых результатов, поскольку обсуждаемые фильтры, когда-то предложенные для получения желаемых АЧХ, не обязательно обладают наименьшей неравномерностью ХГВЗ. Поэтому можно попытаться улучшить классические решения, сохраняя свойство минимальной фазы. Далее сформулируем задачу синтеза неклассических минимально-фазовых каскадных БИХ-фильтров с минимальной неравномерностью ХГВЗ, определим начальные приближения, представим возможные методы условной и безусловной оптимизации для решения этой задачи, приведем примеры синтеза фильтров и покажем, что результаты, полученные для классических БИХ-фильтров, могут быть значительно улучшены.

#### Постановка задачи синтеза фильтров

Передаточную функцию каскадного БИХ-фильтра нижних частот  $N$ -го порядка запишем в виде:

$$H(z) = \prod_{i=1}^K \frac{1+B_{1i}z^{-1}+B_{2i}z^{-2}}{1+A_{1i}z^{-1}+A_{2i}z^{-2}}, \quad (4)$$

где  $K = N/2$  и  $K = (N+1)/2$  соответственно для четных и нечетных  $N$ , коэффициенты  $A_{2m} = B_{2m} = 0$  для некоторого  $m \leq K$  и нечетного  $N$ .

Задачу минимизации неравномерности ХГВЗ в номинальной полосе пропускания для БИХ-фильтров с передаточной функцией (4) сформулируем как:

$$\begin{aligned} \Delta\tau(\mathbf{A}) &= \tau_{\max}(\mathbf{A}) - \tau_{\min}(\mathbf{A}) \rightarrow \min, \\ \Delta\hat{a}(\mathbf{C}) &\leq \Delta a_{\max}, \hat{a}_0(\mathbf{C}) \geq a_{0\min}, \\ a_i(\mathbf{C}) &\geq a_{i\min}, \\ \mathbf{A} &\in U, \mathbf{B} \in R, \end{aligned} \quad (5)$$

где  $\mathbf{A}$  и  $\mathbf{B}$  — векторы искоемых коэффициентов знаменателей и числителей в (4), вектор  $\mathbf{C}$  включает  $\mathbf{A}$  и  $\mathbf{B}$ ,  $a_i$  — минимальное ослабление АЧХ в переходной полосе и его допустимое значение  $a_{i\min}$ , выраженные в децибелах,  $U$  — область устойчивости,  $R$  — область, соответствующая единичной окружности.

В отличие от (2)  $\Delta\tau$ ,  $\tau_{\max}$ ,  $\tau_{\min}$ ,  $\Delta\hat{a}$  и  $\hat{a}_0$  в (5) представлены как функции вектора  $\mathbf{A}$  или  $\mathbf{C}$ . Требование к вектору  $\mathbf{B}$  обеспечивает расположение нулей  $H(z)$  на единичной окружности и постоянство ХГВЗ (линейность ФЧХ) для фильтра с передаточной функцией в виде числителя (4).

Обычно при синтезе частотных фильтров к АЧХ в переходной полосе не предъявляется никаких требований. Это относится и к рассмотренным выше классическим фильтрам, для которых всплеск АЧХ в переходной полосе не превышает 0 дБ, или иначе ослабление АЧХ  $a_i \geq 0$  дБ. Однако при минимизации неравномерности ХГВЗ или нелинейности ФЧХ всплеск АЧХ в переходной полосе может оказаться неприемлемым, и поэтому его желательно ограничить [3,9], что и сделано в (5). Возможно еще более жесткое условие, а именно АЧХ в переходной полосе с увеличением частоты монотонно убывает. Это условие приводит к некоторому ухудшению результатов в сравнении с простым ограничением всплеска [9].

Формулировка задачи синтеза (5) с функциями ограничения, выраженными в децибелах, обусловлена удобством изложения данной статьи. На практике целесообразно представить эти функции в относительных единицах.

#### Начальные приближения

При решении поставленной задачи в качестве начального приближения удобно взять тот или иной классический БИХ-фильтр, поскольку все ограничения в (5) для такого исходного фильтра оказываются выполненными.

В общем случае требование в (5) к вектору  $\mathbf{B}$  означает, что коэффициенты числителей  $H(z)$  в (4) для фильтров нижних частот должны удовлетворять следующим условиям:

$$\begin{aligned} |B_{1i}| &\leq 2, B_{2i} = 1, \forall i = 1 \dots K \\ &\text{и четного } N \text{ и } \forall i \neq m \text{ и нечетного } N; \\ B_{1m} &= 1, B_{2m} = 0 \text{ для нечетного } N. \end{aligned} \quad (6)$$

В частном случае имеет место строгое равенство в (6), и тогда в (5) неизвестен только вектор  $\mathbf{A}$ , поскольку вектор  $\mathbf{B}$  будет содержать лишь известные целочисленные компоненты. Общему случаю отвечают фильтры Чебышева II и Золотарева — Кауэра, а частному — фильтры Баттерворта и Чебышева I.

При решении задачи (5) целесообразно в качестве исходного выбрать фильтр Золотарева — Кауэра или Чебышева I. Далее используем целый ряд исходных фильтров Золотарева — Кауэра, рассчитанных для точек области  $S(\Delta a, f_1, f_2)$  (на рис. 1г,д или 1е), располагающихся на кривых  $\hat{a}_0 = \text{const}$  в некоторой  $\Delta$ -окрестности кривой BD при  $a_{0\min} \leq \hat{a}_0 \leq a_{0\min} + \Delta$  и  $f_2 = f_{2n}$  [5]. Точку на той или иной кривой  $\hat{a}_0 = \text{const}$  будем характеризовать параметрами  $f_1, \hat{a}_0$ . Напомним, что на кривой BD, для которой  $\hat{a}_0 = a_{0\min}$ , находится оптималь-

ная точка, соответствующая минимуму  $\Delta\tau$  для фильтров Золотарева — Кауэра.

#### Методы решения задачи

Задачу (5) можно решить теми или иными методами нелинейного программирования. Применим для сравнения два известных метода безусловной и условной оптимизации (см., например, [10, 11] и ссылки в этих работах), а именно метод градиента (МГ) и метод градиента с возвратом (МГВ).

В МГВ, как и в МГ, поиск в области допуска ведется в направлении  $-\text{grad}\Delta\tau$  с постоянным шагом [10]. Для задачи (5) с тремя ограничениями на параметры АЧХ возможны семь ситуаций, когда в методе МГВ требуется возврат в область допуска. Эти три ограничения можно привести к виду  $g_i \leq 0$ ,  $i = 1, 2, 3$ , а возникающие ситуации описать функциями  $G_m$ ,  $m = 1, 2, \dots, 7$ . Так,  $G_m = g_m$ ,  $m = 1, 2$  или 3 при нарушении одного из трех ограничений,  $G_4 = g_1 + g_2$ ,  $G_5 = g_1 + g_3$  или  $G_6 = g_2 + g_3$  — при нарушении двух из трех ограничений и  $G_7 = g_1 + g_2 + g_3$  при нарушении всех трех ограничений. После возникновения  $m$ -й ситуации производится пошаговое перемещение в направлении  $-\text{grad} G_m$  для возврата в зону допуска.

Результаты решения задачи (5) с помощью обсуждаемых методов оптимизации можно улучшить благодаря следующим приемам:

- поиск на большем числе наборов параметров  $f_1, \hat{a}_0$ ;
- подбор начального шага поиска;
- поиск на большем числе наборов параметров  $f_1, \hat{a}_0$  в окрестности найденного оптимума;
- неоднократный повтор поиска с уменьшенным шагом в окрестности найденного оптимума.

Для оценки необходимых градиентов используем аналитические выражения. Текущие оценки параметров АЧХ и ХГВЗ выполним по 100 частотным точкам в каждой из полос, а окончательные оценки для найденного решения уточним по 500 точкам.

#### Численные результаты

Представим два примера решения задачи (5), рассмотренные в [5]. Первый пример с требованиями к АЧХ (3), а второй — с требованиями к АЧХ из [12], которые использовались многими авторами. Первый пример проиллюстрируем и обсудим более подробно, что позволит понять детали, связанные с решением задачи (5) методами условной и безусловной оптимизации.

**Пример 1.** Как было отмечено выше, требованиям (3) удовлетворяет фильтр Золотарева — Кауэра с  $N \geq 4$ . Вначале уделим внимание безусловной оптимизации на основе МГ, а затем условной — на основе МГВ. В обоих случаях ограничимся исходными фильтрами Золотарева — Кауэра, рассчитанными для  $N = 5$ ,  $f_1 = 0,08, 0,1, 0,12$ ,  $\hat{a}_0 = 45, 50, 55$  дБ и  $f_2 = f_{2n} = 0,2$ . Таким образом, количество исходных точек  $f_1, \hat{a}_0$  равно девяти.

Интересно посмотреть на процессы изменения параметров  $\Delta\tau$ ,  $\Delta\hat{a}$ ,  $\hat{a}_0$  и  $a_t$  синтезируемого фильтра от числа итераций в каждом из методов. Для уменьшения числа графиков вместо контролируемых параметров  $\Delta\hat{a}$  и  $\hat{a}_0$  используем максимальную взвешенную ошибку АЧХ, связанную с этими параметрами как:

$$e = \max[(1-10^{-0,05\Delta\hat{a}})/(1-10^{-0,05\Delta a_{\max}}), 10^{-0,05(\hat{a}_0-a_{0\min})}].$$

В этом случае двум ограничениям на  $\Delta\hat{a}$  и  $\hat{a}_0$  в (5) соответствует одно условие  $e \leq 1$ .

### Безусловная оптимизация

На рис. 5 представлены зависимости параметров  $\Delta\tau$ ,  $e$  и  $a_t$  синтезируемого фильтра от числа итераций в МГ для трех из девяти заданных исходных точек с  $f_1 = 0,12$ ,  $\hat{a}_0 = 45, 50, 55$  дБ. Согласно рис. 5а с увеличением числа итераций значение  $\Delta\tau$  существенно уменьшается. Характер трех кривых зависит от значения  $\hat{a}_0$ . Замечено, что все три процесса минимизации  $\Delta\tau$  прерываются нарушением условий устойчивости, не доходя до  $3 \times 10^4$  итераций, причем это обусловлено перемещением доминирующей (ближайшей к единичной окружности) пары комплексно-сопряженных полюсов фильтра за пределы единичной окружности.

Для каждого  $\hat{a}_0$  примерно одно и то же устойчивое решение с очень малым значением  $\Delta\tau \approx 0,003$  можно получить при числе итераций более  $10^4$ . Однако это решение становится бесполезным, если обратиться к зависимостям на рис. 5б. Еще до  $10^4$  итераций значение ошибки  $e$  начинает возрастать и становится больше единицы, что по условию решаемой задачи неприемлемо. Тем не менее на рис. 5б можно выделить интервалы, в которых  $e \leq 1$ . Один находится в ближней зоне (до  $10^3$  итераций) для всех трех кривых, а другой — в дальней зоне (от  $10^3$  до  $10^4$  итераций) и лишь для двух кривых.

На рис. 5в показаны зависимости ослабления в переходной полосе  $a_t$  от числа итераций. Выбор решения с  $e \leq 1$  на рис. 5б из ближней или дальней зоны зависит от значения  $a_{t\min}$  в (5), которое до сих пор не было задано. Если  $a_t \geq a_{t\min} = 0$  дБ, то решение с  $e \leq 1$  и минимальной  $\Delta\tau$  можно найти лишь в ближней зоне.

Результаты безусловной оптимизации для всех девяти исходных точек  $f_1$ ,  $\hat{a}_0$  представлены в табл. 3, где также указано число потребованных итераций. Для некоторых значений  $\hat{a}_0$  даны два решения — в ближней и дальней зоне (вторая строка цифр). Решение в дальней зоне определяется исходя из того, чтобы получить как можно большее значение  $a_t$ . Поэтому процесс оптимизации должен быть прерван при появлении первого допустимого решения с  $e \leq 1$ , что обусловлено поведением кривых на рис. 5в.

Данные таблицы 3 дают представление о влиянии выбора исходных параметров на результаты оптимизации. Как видим, для лучших решений в ближней и дальней зоне  $\Delta\tau = 0,485$  и  $\Delta\tau = 0,036$  соответственно. Благодаря приемам, описанным выше, эти значения были дополнительно уменьшены до  $\Delta\tau = 0,212$  дБ и  $\Delta\tau = 0,009$ . Для сравнения, в [5] в ближней зоне получено  $\Delta\tau = 0,315$ .

Таблица 3. Результаты безусловной оптимизации

| Исходные параметры |                  | Параметры синтезированных фильтров |            |                | Итерации   |
|--------------------|------------------|------------------------------------|------------|----------------|------------|
| $f_1$              | $\hat{a}_0$ , дБ | $\Delta\tau$                       | $e$        | $a_t$ , дБ     |            |
| 0,08               | 45               | 0,598                              | 0,969      | 2,86           | 28         |
|                    | 50               | 1,09                               | 0,982      | 2,94           | 23         |
|                    | 55               | 2,23<br>0,049                      | 0,970<br>1 | 2,89<br>-1,05  | 18<br>1005 |
| 0,1                | 45               | 0,529                              | 0,960      | 2,86           | 26         |
|                    | 50               | 0,848<br>0,037                     | 0,986<br>1 | 2,95<br>-0,695 | 21<br>1577 |
|                    | 55               | 1,40<br>0,057                      | 0,971<br>1 | 2,88<br>-1,32  | 17<br>1577 |
| 0,12               | 45               | 0,485                              | 0,964      | 2,87           | 24         |
|                    | 50               | 0,725<br>0,036                     | 0,972<br>1 | 2,90<br>-0,839 | 18<br>3478 |
|                    | 55               | 1,03<br>0,053                      | 0,949<br>1 | 2,50<br>-1,39  | 13<br>2899 |

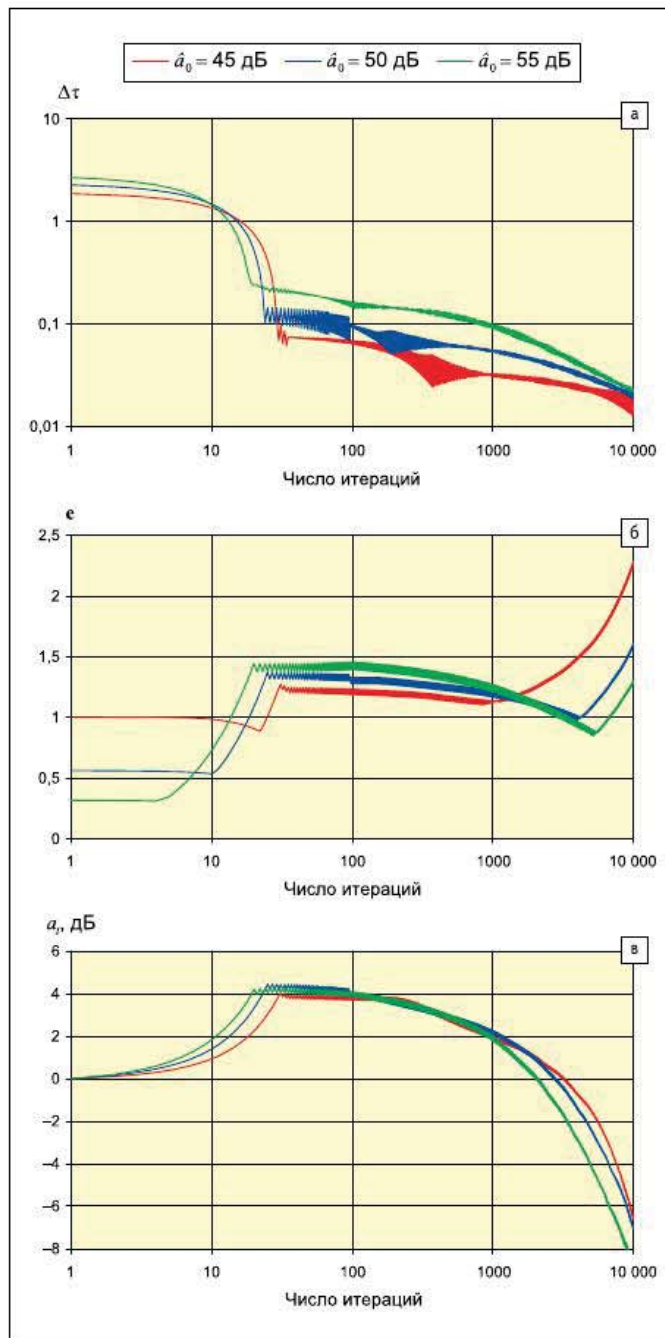
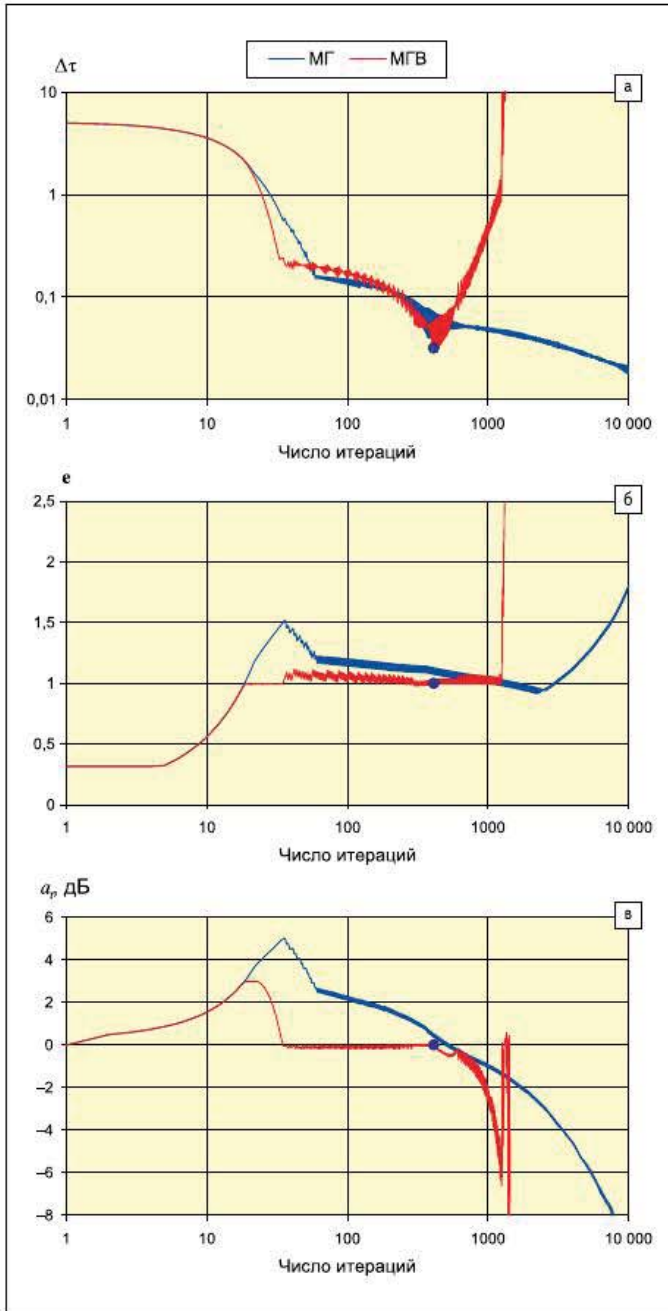


Рис. 5. Зависимости параметров синтезируемого фильтра от числа итераций в МГ для трех значений  $\hat{a}_0$  исходного фильтра Золотарева — Каузера с  $N = 5$ ,  $f_1 = 0,12$  и  $f_2 = 0,2$ : а) неравномерность  $\Delta\tau$ ; б) ошибка  $e$ ; в) ослабление  $a_t$

### Условная оптимизация

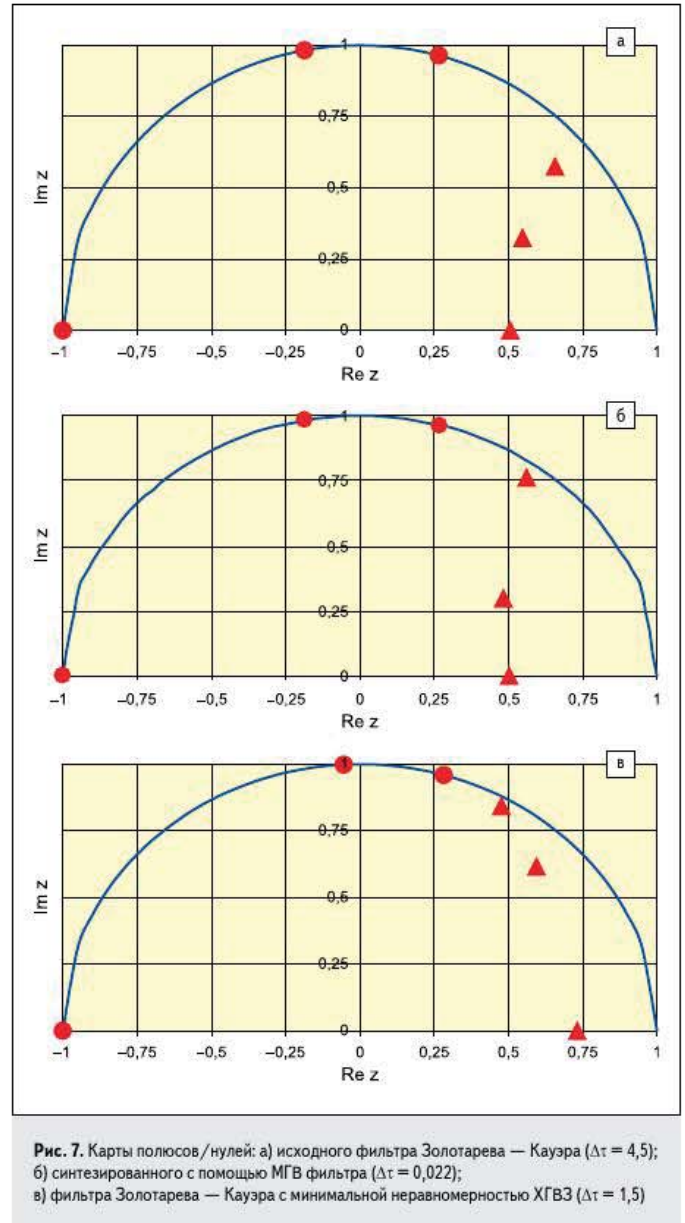
В данном случае положим  $a_{t\min} = 0$  дБ. На рис. 6 представлены зависимости параметров  $\Delta\tau$ ,  $e$  и  $a_t$  синтезируемого фильтра от числа итераций в МГ и МГВ для исходной точки с  $f_1 = 0,08$ ,  $\hat{a} = 55$  дБ. Для этой точки (из девяти ранее упомянутых) МГВ дает наилучший результат. Графики на рис. 6 наглядно иллюстрируют, как видоизменяются зависимости  $\Delta\tau$ ,  $e$  и  $a_t$  от числа итераций в случае применения МГВ вместо МГ. На рис. 6а кривая  $\Delta\tau$  для МГВ после достижения минимума резко возрастает. На рис. 6б,в наблюдается движение вдоль границ с  $e = 1$  и  $a_t = 0$  дБ и резкое нарушение этих границ после  $10^3$  итераций с последующим нарушением условия устойчивости. Заметим, что резкие колебания кривой для МГВ на рис. 6в после  $10^3$  итераций обусловлены недостаточным числом точек для оценки  $a_t$ .



**Рис. 6.** Зависимости параметров синтезируемого фильтра от числа итераций в МГ и МГВ для исходного фильтра Золотарева — Кауэра с  $N = 5$ ,  $\hat{a}_0 = 55$  дБ,  $f_1 = 0,08$  и  $f_2 = 0,2$ : а) неравномерность  $\Delta\tau$ ; б) ошибка  $e$ ; в) ослабление  $a_i$

Однако нет смысла увеличивать это число, поскольку процесс поиска должен быть прерван из-за резкого возрастания  $\Delta\tau$  еще до появления этого эффекта. Метки на кривых для МГВ на рис. 6 обозначают решение задачи (5) с  $\Delta\tau = 0,032$ ,  $e = 1$  и  $a_i = 0,01$  дБ.

Благодаря приемам, описанным выше, можно получить фильтр с  $\Delta\tau = 0,022$ ,  $e = 1$  и  $a_i = 0$  дБ. При этом исходный фильтр, рассчитанный для точки  $f_1 = 0,083$ ,  $\hat{a}_0 = 54$  дБ, имеет  $\Delta\tau = 4,6$ . Карты полюсов/нулей исходного и оптимизированного фильтров показаны на рис. 7а,б. Как видим, для этих фильтров сильно отличаются лишь позиции доминирующих полюсов. Для сравнения на рис. 7в приведена карта полюсов/нулей для фильтра Золотарева — Кауэра с минимальной неравномерностью ХГВЗ. Хотя для этого фильтра согласно таблице 2  $\Delta\tau = 1,5$  при  $N = 5$ , использование его в качестве исходного дает результат гораздо хуже полученного.



**Рис. 7.** Карты полюсов/нулей: а) исходного фильтра Золотарева — Кауэра ( $\Delta\tau = 4,5$ ); б) синтезированного с помощью МГВ фильтра ( $\Delta\tau = 0,022$ ); в) фильтра Золотарева — Кауэра с минимальной неравномерностью ХГВЗ ( $\Delta\tau = 1,5$ )

**Сравнение результатов**

Параметры синтезированных с помощью МГ и МГВ неклассических фильтров сведены в таблице 4. Там же для сравнения даны параметры фильтра Золотарева — Кауэра с минимальной неравномерностью ХГВЗ, взятые из таблицы 2 при  $N = 5$ . Как видим, для неклассических фильтров можно получить значительно меньшие значения  $\Delta\tau$ , чем для фильтра Золотарева — Кауэра, а именно в 68 раз при  $a_i \geq 0$  дБ и в 167 раз при  $a_i = -0,869$  дБ. Найденные фильтры являются минимально-фазовыми и согласно таблице 4 их максимальные значения ХГВЗ в номинальной полосе пропускания не превышают значения для фильтра Золотарева — Кауэра. В случае, когда всплеск АЧХ в переходной полосе недопустим ( $a_i \geq 0$  дБ), применение МГВ позволяет для данного примера более чем на порядок уменьшить значение  $\Delta\tau$ , полученное с помощью МГ.

В таблице 5 приведены значения  $\Delta\tau$  и коэффициентов, на рис. 8а,б — АЧХ, а на рис. 8в — ХГВЗ всех синтезированных фильтров. В номинальной полосе задерживания ( $0,2 \leq f \leq 0,5$ ) на рис. 8а и в номинальной полосе пропускания ( $0 \leq f \leq 0,1$ ) на рис. 8б АЧХ всех фильтров удовлетворяют заданным требованиям. В номинальной полосе пропускания АЧХ трех неклассических фильтров практически совпадают. Наибольшие различия проявляются в переходной полосе по уровням всплесков, которые соответствуют значениям  $a_i$  в таблице 4.

Таблица 4. Параметры синтезированных фильтров

| Минимально-фазовые фильтры (N = 5) |               |            |                |               |            |       |
|------------------------------------|---------------|------------|----------------|---------------|------------|-------|
| Золотарева — Кауэра                |               |            | Неклассические |               |            |       |
| $\Delta\tau$                       | $\tau_{\max}$ | $a_t$ , дБ | $\Delta\tau$   | $\tau_{\max}$ | $a_t$ , дБ | Метод |
| 1,5                                | 3,78          | 0          | 0,212          | 3,73          | 1,38       | МГ    |
|                                    |               |            | 0,009          | 3,47          | -0,80      |       |
|                                    |               |            | 0,022          | 3,58          | 0          |       |

Таблица 5. Значения  $\Delta\tau$  и коэффициентов синтезированных фильтров

| $\Delta\tau$ | i | $A_{\Pi}$   | $A_{\Sigma}$ | $B_{\Pi}$   | $B_{\Sigma}$ |
|--------------|---|-------------|--------------|-------------|--------------|
| 1,5          | 1 | -0,95286628 | 0,93792855   | -0,56547128 | 1            |
|              | 2 | -1,16877729 | 0,73368931   | 0,10728159  | 1            |
|              | 3 | -0,73139252 | 0            | 1           | 0            |
| 0,212        | 1 | -1,08353967 | 0,89569467   | -0,54173064 | 1            |
|              | 2 | -1,00498407 | 0,36836692   | 0,30157007  | 1            |
|              | 3 | -0,53517859 | 0            | 1           | 0            |
| 0,009        | 1 | -1,1077361  | 0,91457912   | -0,54386197 | 1            |
|              | 2 | -0,94693713 | 0,32414053   | 0,2851927   | 1            |
|              | 3 | -0,51708961 | 0            | 1           | 0            |
| 0,022        | 1 | -1,12518232 | 0,90122197   | -0,53730226 | 1            |
|              | 2 | -0,96972502 | 0,3226689    | 0,36947927  | 1            |
|              | 3 | -0,5021865  | 0            | 1           | 0            |

Согласно представленным результатам уменьшение неравномерности ХГВЗ в номинальной полосе пропускания для всех полученных минимально-фазовых БИХ-фильтров приводит фактически к расширению полосы пропускания. Дополнительного уменьшения этой неравномерности для неклассических фильтров можно достичь, увеличивая всплеск АЧХ в переходной полосе. Интересно, что подобные факты наблюдаются и для неминимально-фазовых БИХ-фильтров [3].

**Пример 2.** Требования к АЧХ [12]:  $\Delta a_{\max} = 0,5$  дБ,  $a_{0\min} = 32$  дБ,  $a_t = 0$  дБ,  $f_{1n} = 0,25$  и  $f_{2n} = 0,3$ . Этим требованиям удовлетворяет фильтр Золотарева — Кауэра с  $N \geq 4$ . В данном случае уменьшить минимальные неравномерности ХГВЗ фильтров Золотарева — Кауэра для  $N = 4, 5, \dots, 12$  с помощью МГ, так же как и в [5], не удастся. Применение МГВ не приводит к существенным результатам. Например, при  $N = 5$  для фильтра Золотарева — Кауэра с минимальной неравномерностью ХГВЗ, соответствующего точке В на рис. 1г, значение  $\Delta\tau = 3,85$ , а для фильтра, найденного с помощью МГВ, —  $\Delta\tau = 3,76$ . Увеличение допустимого всплеска АЧХ до 3 дБ ( $a_t = -3$  дБ) также дает мало значимый результат с  $\Delta\tau = 3,19$ . Дальнейшее уменьшение  $\Delta\tau$  до 1,75 возможно при допущении  $a_t = -20$  дБ. Такое несущественное уменьшение  $\Delta\tau$  при сильном снижении требования к  $a_t$  можно объяснить узкой относительной переходной полосой. Действительно, в данном примере отношение переходной полосы к полосе пропускания равно 0,2, а в примере 1, для которого получены превосходные результаты, отношение равно 1.

Таким образом, невозможность достаточного расширения полосы пропускания в процессе оптимизации из-за узкой относительной переходной полосы требует допущения очень большого всплеска АЧХ. Однако чрезмерный всплеск АЧХ в переходной полосе может оказаться неприемлемым на практике.

Обсуждаемый пример был рассмотрен в ряде публикаций, и в частности в [3], где при  $N = 12$  были получены варианты решений с чрезвычайно малой неравномерностью ХГВЗ, но лишь для неминимально-фазовых фильтров.

## Заключение

Представлены два подхода к синтезу минимально-фазовых БИХ-фильтров с минимальной неравномерностью ХГВЗ в номинальной полосе пропускания и требуемой АЧХ. Хотя рассмотрены только фильтры нижних частот, синтез может быть распространен и на полосовые фильтры.

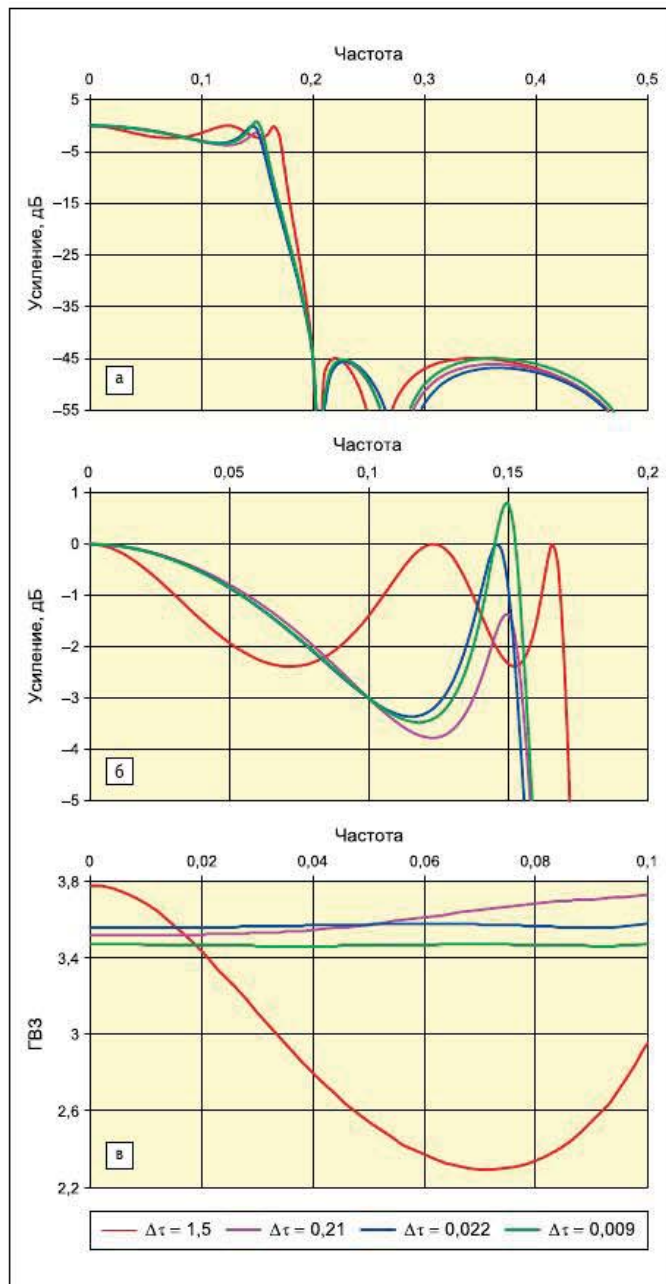


Рис. 8. Частотные характеристики синтезированных БИХ-фильтров: а) АЧХ в основной полосе; б) АЧХ в номинальной полосе пропускания и переходной полосе; в) ХГВЗ в номинальной полосе пропускания

Первый подход основан на оптимальном выборе исходных параметров АЧХ классических фильтров в пределах определенной области допуска. В зависимости от требований к АЧХ и порядка фильтров, разброс в значениях неравномерности ХГВЗ для точек области может быть очень большим, что оправдывает применение этого подхода. Наименьших неравномерностей ХГВЗ можно достичь для фильтров Золотарева — Кауэра, затем в зависимости от ширины полосы пропускания для фильтров Чебышева II или Чебышева I и лишь потом для фильтров Баттерворта. Дополнительное уменьшение неравномерности ХГВЗ можно получить для большего порядка фильтров. Однако увеличение порядка более чем в два раза малоэффективно.

Второй подход основан на безусловной и условной оптимизации коэффициентов каскадного фильтра с нулями передачи на единичной окружности. При этом ряд фильтров Золотарева — Кауэра исполь-



зуются в качестве исходных. Полученные таким путем неклассические минимально-фазовые фильтры могут иметь значительно меньшие неравномерности ХГВЗ (в частности, в 68 и 167 раз), чем присущие фильтрам Золотарева — Кауэра, найденным с помощью первого подхода. К сожалению, результаты оптимизации сильно зависят от относительной переходной полосы и допустимого уровня всплеска АЧХ в этой полосе. Желание получить узкую переходную полосу и малый допустимый уровень всплеска может свести на нет эффект оптимизации. Для получения существенного результата в случае узкой переходной полосы требуется допущение чрезмерного всплеска АЧХ, что может оказаться неприемлемым на практике. Это ограничивает возможности минимизации неравномерности ХГВЗ минимально-фазовых БИХ-фильтров. ■

### Литература

1. Оппенгейм А., Шафер Р. Цифровая обработка сигналов. М.: Техносфера, 2012.
2. Saramaki T., Neuvo Y. Digital filters with equiripple magnitude and group delay. IEEE Trans. 1984. ASSP-32. No. 6.
3. Nongpiur R. C., Shpak D. J., Antoniou A. Improved design method for nearly linear-phase IIR filters using constrained optimization. IEEE Trans. on Signal Processing, 2013. V.61. No.4.
4. Мингазин А. Резервы классических аппроксимаций цифровых БИХ-фильтров // Современная электроника. 2012. № 9. (Статью с исправленными опечатками см. на сайте [www.radis.ru](http://www.radis.ru)).
5. Мингазин А. Т. Минимально-фазовые БИХ-фильтры с минимальной неравномерностью ХГВЗ и требуемой АЧХ // 16-я Международная конференция «Цифровая обработка сигналов и ее применение». (DSPA.) 2014. Т. 1.
6. Пупалайкис П. Д. Групповая задержка и ее влияние на тестирование потоков последовательных данных // Компоненты и технологии. 2007. № 1.
7. Мингазин А. Т. Начальные приближения для синтеза цифровых фильтров с минимальной длиной слова коэффициентов // Электронная техника. 1983. Сер. 10. № 6.
8. Мингазин А. Т. Область допустимых исходных параметров цифровых фильтров Золотарева — Кауэра // 15-я Международная конференция «Цифровая обработка сигналов и ее применение». (DSPA.) 2013. Т. 1.
9. Surma-aho K., Saramaki T. A systematic technique for designing approximately linear phase recursive digital filters. IEEE Trans. CAS-II. 1999. V. 46, No. 7.
10. Карпушкин С. В. Численные методы в проектных расчетах оборудования. Электронное учебное пособие. Тамбов, 2008.
11. Пашкеев С. Д., Минязов Р. И., Могилевский И. Д. Машинные методы оптимизации в технике связи. М.: Связь, 1976.
12. Deczky A. G. Synthesis of recursive digital filters using the minimum p-error criterion. IEEE Trans. 1972. AU-20. No. 4.



**Весь мир СВЧ электроники**

www.AVREX.ru



Подстроечные конденсаторы



ЖИГ-генераторы  
ЖИГ-фильтры  
Синтезаторы частоты



Миниатюрные синтезаторы частоты



Рубидиевые стандарты частоты



Мощные СВЧ-фильтры



USB-приборы:  
аттенюаторы  
фазовращатели  
синтезаторы частоты



Компоненты и оборудование для систем связи



Высоковольтные высокодобротные керамические ЧИП-конденсаторы

**Официальный представитель в России**

### НОВОСТИ коммутаторы

## Сетевой коммутатор NM350 от Fastwel

Российская компания Fastwel выпустила сетевой коммутатор NM350 — законченное устройство с шестью каналами Ethernet, четыре из которых поддерживают технологию PoE.

Питание устройства осуществляется через лицевой разъем D-Sub посредством встроенного преобразователя напряжения. В отсутствие подключенных устройств коммутатор рассеивает менее 9 Вт энергии, что позволяет обойтись без дополнительного внешнего охлаждения.

Один из двух каналов NM350, не поддерживающих PoE, можно использовать для подключения к серверу, в то время как к другому — подсоединить еще один модуль NM350, а к нему, в свою очередь, — следующий. Таким образом организуется последовательное каскадирование сетевых коммутаторов. Данный тип соединения нередко задействуют при создании распределен-

ных систем безопасности и видеонаблюдения в общественном транспорте.

Благодаря наличию промышленных разъемов M12 и степени защиты от пыли и влаги IP65 коммутатор может быть установлен вне коммуникационных шкафов на открытом воздухе или в производственных цехах, а также на транспорте.

Ключевые характеристики:

- встроенный коммутатор на 6 каналов Gigabit Ethernet, работающий на канальном (втором) уровне модели OSI;
- четыре порта с поддержкой технологии PoE PSE по стандарту IEEE 802.3af;
- совместимость с устройствами до 15,4 Вт на канал;
- защита от пыли и влаги IP65;
- диапазон рабочих температур:  $-40...+70$  °C.

[www.prosoft.ru](http://www.prosoft.ru)



www.relay-start.ru

173021, Россия, Великий Новгород,  
ул. Нехинская, д. 55, тел. +7 8162 765 657  
E-mail: [info@relay-start.ru](mailto:info@relay-start.ru)

**ПРОИЗВОДСТВО МЕТАЛЛОКЕРАМИЧЕСКИХ КОРПУСОВ**




**ПРОИЗВОДСТВО РЕЛЕ И ПЕРЕКЛЮЧАТЕЛЕЙ**




**ИННОВАЦИОННАЯ ТЕХНОЛОГИЯ  
СОВМЕСТНО ОБЖИГАЕМОЙ  
НИЗКОТЕМПЕРАТУРНОЙ КЕРАМИКИ  
(LTCC)**

**НОВЕЙШИЕ ТЕХНОЛОГИИ ПРОИЗВОДСТВА  
КОМПОНЕНТОВ ДЛЯ БОРТОВЫХ СИСТЕМ  
КОСМИЧЕСКИХ АППАРАТОВ ПРОГРАММЫ  
«ГЛОНАСС»**